

Vzrost *

v mrazu 10⁵-10⁶ D₀ asi 50 pc. Mladí hvězdy oblohy subotman.

Jausoro prst.

Vmraku slusit - # jion - li mah. poezly puceli, durstau koru.

$$\Pi_j = \sqrt{\frac{3}{4\pi\rho} \left(\frac{5kT}{6\mu m_H}\right)^3}$$

$$\rho_{khuat} > \Pi_j \rightarrow \text{hadat}$$

→ chudat a hodi cesti neracin

Zalust'eni - rekhoi mad. usacina a cclisti HII

- SN
- kstehi riva a galaxii
- rava galaxii

→ protobirda a obr. arku, hny' uschi' L (jinal by knida nerubla)

kontraku - voly' pu' $t_{FF} \approx \sqrt{\frac{3\pi}{32G\rho}}$

kolaps → hydrostat rovnosna → pte a p'clen, do'c po dopadu nuy'ich

protor i'dite - pomali' kontraku (van-Helmholtz) $T_{vir} = \frac{GM}{2R}$

→ virio'el $2\langle E_k \rangle - \langle E_p \rangle = 0$

$\langle E_k \rangle + \langle E_p \rangle + E_{rad} = 0$

Sun'icni' m. uvol'ni' eu. → vyra'eni' a uvol'ni' → zab'it'ni'

V rami' cclati' n'rope T_c 100x usci' asi T_c rava'rdna - konvek'ni' jallso-
lungau' p'ru'clen' → voly' na HP (Hayashiho linie)

$$E_{rad} = -\frac{\langle E_p \rangle}{2} \approx \frac{1}{2} G \frac{M^2}{R} \approx 3.2 \cdot 10^{41} \text{ J} \left(\frac{M}{M_\odot}\right)^2 \left(\frac{R}{R_\odot}\right)$$

Zab'it'ni' a cembra → klasi' opacita → p'ru'co eu. z'ch'eni'.

Na HP → k'ap'clen' TNR (p'ru' D, Li, B) pak H

Habradi' eu. co'ne vy'z'ni' m'ud'cl'eni' p'ru' → HP (mu' a kni' k'ap'clen'ni')

$L \propto M^4$; $T_{HP} \approx \frac{E}{L}$

Obud' j'clen' izolacye - knida m' d'ro'ci' n'y'hou

$\rho < 2\rho_0$ - p-p' h'cl'ic j'inal' eno

* Se v j'clen' m'ud'cl'eni' p'ru'clen' - ak'z' vy'normala rovnosna. j'clen' a p' r'cl'ym m'ud'cl'eni' He po TNR h' r'cl'eni' a ccl'ic'cl'eni' p'ru'clen' a m'ud'cl'eni' eu. → uak'ni' E_p data

$\rho > 2\rho_0$ k'ap'clen' m'ud'cl'eni' j'inal' m'ud'cl'eni' p'ru'clen'

→ He l'ic'ni' + H ve kl'upe (~~stati~~ dominantni')

ρ j'clen' 0.4 ρ_0

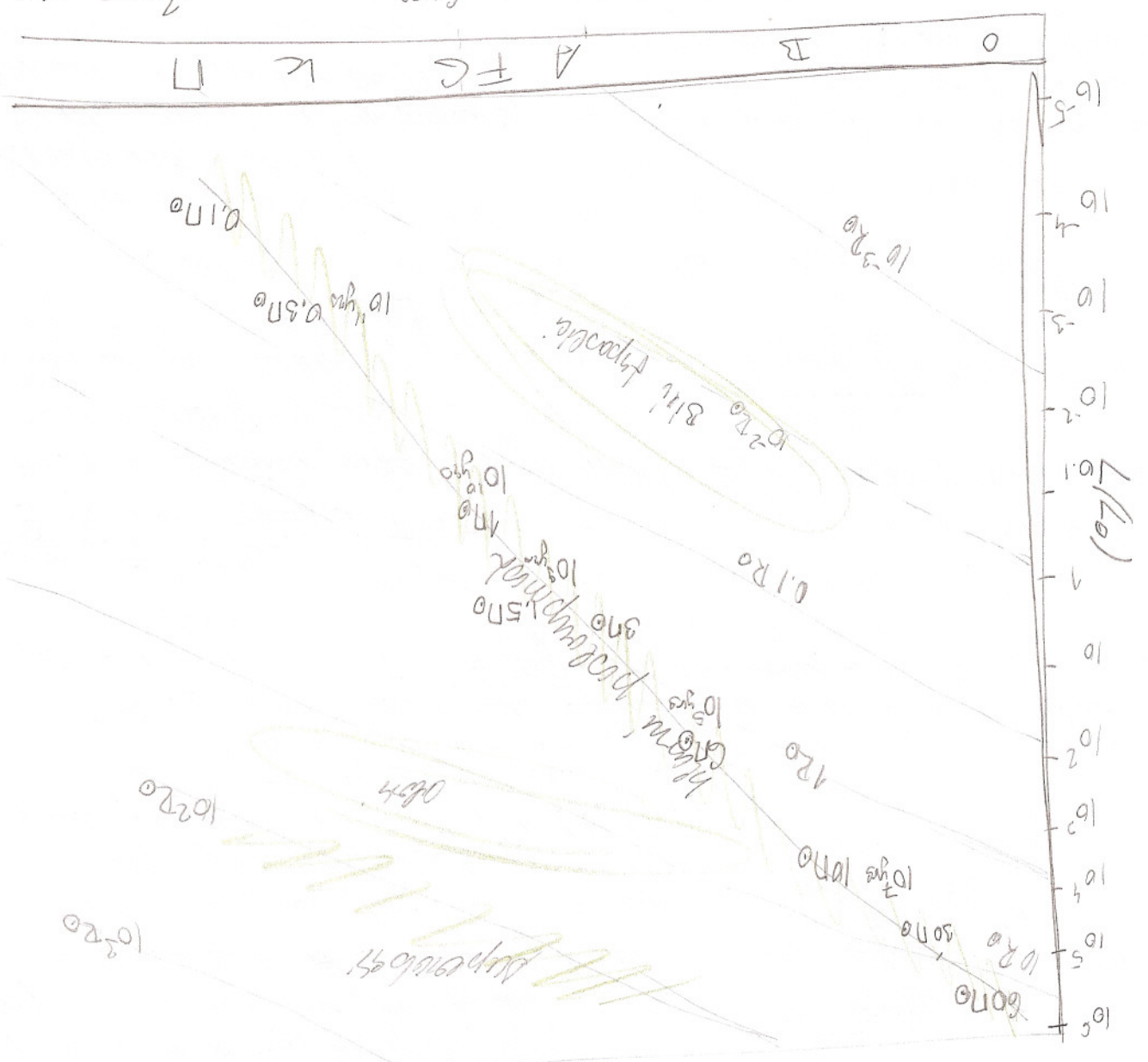
Explosivni' zab'it'ni' He - z'cl'ic'cl'eni' + z'cl'ic'cl'eni' pomaly' m'ud'cl'eni' → k'cl'ic'cl'eni' p'ru'clen' (AGB knida ccl'ic'cl'eni' p'ru' m'ud'cl'eni' p'ru'clen')

Synk'ra d'cl'ic'cl'eni' p'ru'clen' asi do j'clen' 1.4 ρ_0 z' $F_c = 7M, BH$

a r'cl'ic'cl'eni' SNII m'ud'cl'eni' h'

* > 50% with varying amount - due to H, He star W.R. energy (g.c) → 50% has H - highly, water, and dr-BH

HR Diagram



HR Diagram shows evolution of stars from main sequence to red dwarf, or blue giant, or white dwarf, or black hole. The diagram shows the path of a star as it evolves over time. The vertical axis is luminosity L/L_{\odot} and the horizontal axis is temperature T . The diagram is divided into regions labeled A through N. The main sequence is the diagonal line from top-left to bottom-right. The red dwarf region is at the bottom-left. The supergiant region is at the top-right. The diagram also shows tracks for stars with different masses and lifetimes, such as $10^2 R_{\odot}$, $10^3 R_{\odot}$, and $10^4 R_{\odot}$.

Vývoj 2* (Křivky)

2* vývoj rychlosti vs od vzniku - rychlostí, času, složen, podoba Π
 Algal - * $5\Pi_0$ a podoba $1\Pi_0$

→ měla by být podobnější, pokud jsou stejné stáří
 → pro porovnání

Vnímání slova rychlosti vývoj → výplň, rozložení, kvalita → jaké byly
 → slova a velkou Π se stane složením slova a není vhodné přerušit
 její kodi.

$\Phi(x,y,z) = -\frac{G\Pi_1}{r_1} - \frac{G\Pi_2}{r_2} - \frac{8^2\omega^2}{2}$ Dole je pole

Oddělení - do povrchu umístění rychlostí, pole
 Polutokový - jedná slova výplň R. pole → jaké byly pro L_1
 Důležitá - slova výplň R. pole - odpovídá stáří.

Vývoj 1, oddělení - HP

- 1, $\Pi_1 > \Pi_2$, Π_1 má asi 5% H a jedná - výplň R. pole
 → polutokový
- 2, Π_2 se stane první, přechod kromě L_1 (i.e. vlnění)
- 3, vývoj Π_1 se nesprávně (dám stáří centra), kromě se rozdělují,
 jemně přechod.
- 4, abudní díle; rotace → \vec{L} má a materiál se stane pole na *
 ⇒ rychlosti vývoje *
- 5, závažná Π sekund. * $\Pi < 3\Pi_0$ - He BT
 $\Pi > 3\Pi_0$ He HP → C, O BT (mora, S, O)
 $\Pi > 15\Pi_0$ další TNR → Fe jedná $> 1,4\Pi_0$
 → NH/BH
 katalyzátor